

زیست چینه شناسی و میکروfasیس سازند سروک در چاه X-01

میدان نفتی بهرگانسر، خلیج فارس

کیانا کیارستمی^۱، سید حمید وزیری^۲، معصومه شهرابی ملایوسفی^۳، بیژن نوری^۴

۱- دانشجوی دکترا چینه شناسی و فسیل شناسی دانشگاه آزاد اسلامی واحد علوم و تحقیقات

Cactaceae87@gmail.com

۲- استاد گروه زمین شناسی دانشگاه آزاد اسلامی واحد تهران شمال

۳- استادیار گروه زمین شناسی، دانشگاه آزاد اسلامی، واحد اسلامشهر، اسلامشهر

۴- دانشجوی دکترا رسوپ شناسی، شرکت نفت فلات قاره ایران

تاریخ دریافت مقاله: ۹۲/۶/۱۳ تاریخ تصویب: ۹۲/۶/۱۲

چکیده

میدان نفتی بهرگانسر، یکی از میدان‌های نفتی واقع در دامنه جنوبی فروافتادگی درفول و در شمال غرب خلیج فارس واقع شده است. جهت مطالعات زیست چینه ای سنجهای آهکی میدان نفتی مذکور تعداد ۵۶ مقطع نازک مربوط به سازند سروک مورد مطالعه قرار گرفته است. در سازند مذکور ۱۷ گونه از جنس فسیلی شناسایی شدند که بر اساس آنها، می‌توان سه زون زیستی راکه با زیست زونهای معرفی شده توسط وایند (۱۹۶۵) مطابقت دارد، معرفی نمود.

I-Nezzazata – Alveolinids Assemblage Zone# 25 , II-Rudist debris# 24, III- "Oligostegina" facies# 26

بر اساس سه زون های زیستی معرفی شده سن سازند سروک سنومانین تعیین شد که از رخساره های پلاژیک و نریتیک تشکیل شده است. در مطالعه حاضر مرز تختانی سازند سروک با سازند کرڈمی از نوع پیوسته و مرز فوکانی آن با سازند ایلام از نوع ناپیوستگی فرسایشی می باشد. ۵ میکروfasیس در سازند مذکور شناسایی شدند که نشانگر ته نشست سازند سروک در محیط های دریایی باز، سد و مرداب است. با توجه به تفسیر رخساره ها، باionfasیس ها و نهایتاً "معرفی مدل رسوپی سازند سروک در چاه مورد مطالعه، محیط رسوپی سازند سروک یک پلت فرم کربناته از نوع رمپ می باشد.

واژگان کلیدی : مدل رسوپی، رمپ، سازند سروک، زون زیستی، سنومانین

مقدمه

بهبهان و در استان خوزستان توسط جیمز و وايند شناسایی شده است [۲۴]. زیست چینه شناسی، محیط رسوپی و میکروfasیس سازند سروک در برش سفید کوه [۵]. و برش لندران در جنوب غرب سمیرم مورد مطالعه قرار گرفته است. سازند سروک در چاه

سازند سروک واحد سنگ چینه ای کربناته ضخیمی است که بخشی از گروه بنگستان می باشد که در حاشیه جنوبی نتوتیس در زاگرس مرتفع نهشته شده است. مقطع تیپ سازند سروک در تنگ سروک واقع در یال جنوبی تاقدیس کوه بنگستان در شمال غربی

روش مورد مطالعه

مطالعات انجام شده برای دست یابی به اهداف مورد نظر شامل دو مرحله می باشد:

- ۱- تهیه مقاطع نازک میکروسکوپی
- ۲- مطالعات آزمایشگاهی و بررسی دقیق مقاطع نازک میکروسکوپی و شناسایی میکروفیزیل ها انجام شد. همچنین در چاه مورد مطالعه، جهت شناسایی میکروفاسیسهای رده بندی میکروفاسیس ها، شناسایی کمربند های رخساره ای و نهایت ارائه محیط و مدل رسویی نیز مطالعاتی انجام گردید.

توصیف چینه نگاری زیستی سازند سروک در

چاه مورد مطالعه

با توجه به مطالعات زیست چینه شناسی سازند سروک، در چاه مورد مطالعه سه بایوزون برای سازند مذکور به شرح زیر شناسایی شده است:

I-Nezzazata – Alveolinids Assemblage

Zone # 25

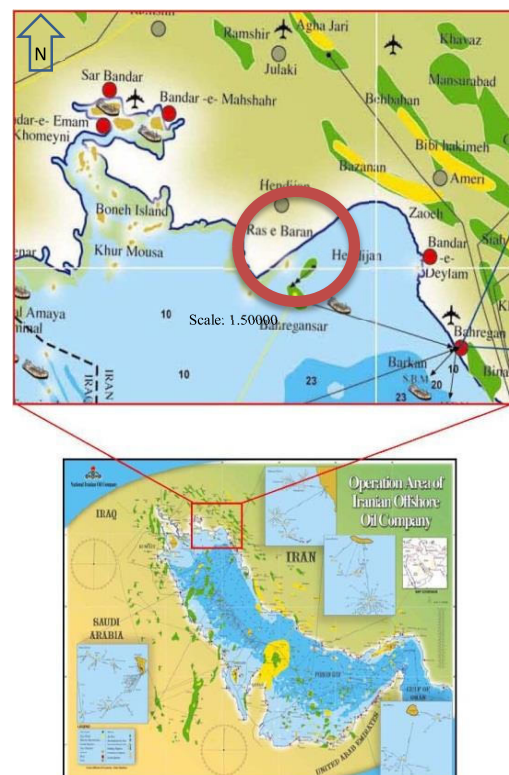
بایوزون معرفی شده توسط وايند [۲۴]. با زیست زون های سازند سروک در چاه مورد مطالعه مطابقت دارد. ضخامت این بایوزون در سازند سروک ۸۵ متر در اعمق ۲۷۷۲-۲۶۸۷ متری قرار دارد. همچنین در این ناحیه سنگواره های قرار دارد. فراوان یافته می باشد. Nezzazata sp. و Alveolinids sp. شوند و از نظر سنگ شناسی شامل دولومیت و سنگ آهک است. از روزنبران همراه شناسایی شده با بایوزون مذکور در چاه مورد مطالعه

می توان به:

-Valvulammina sp., Dicyclina

shlumbergeri MUNIER- CHALMAS,

x-01، میدان نفتی بهرگانسر در خلیج فارس با ۲۰۶ متر سبک، عمدتاً مشتمل از دولومیت و سنگ آهک دولومیتی است که بر روی مارن های سیاه تا سیز تیره سازند کژدمی با مرز تدریجی واقع شده است. سازند ایلام از نظر سنگ شناسی عمدتاً شامل سنگ آهک های رسی و سنگ آهک های نازک لایه است که با سازند سروک هم بررسی از نوع ناپیوستگی فرسایشی را دارا است [۲۲]. x-01، میدان نفتی بهرگانسر بررسی حاضر در چاه x-01، میدان نفتی بهرگانسر واقع در شمال غرب خلیج فارس انجام گرفته است(شکل ۱).



شکل ۱- نقشه موقعیت مکانی میدان بهرگانسر در خلیج

[۱۷] فارس

میکریتیک حاوی Oligosteginids در سازند کژدمی یا گروه بنگستان اطلاق می شود که در سطوح فوقانی سازند کژدمی و تحتانی سازند سروک مشاهده می شوند [۶]. بایوزون نامبرده با زیست زونهای تعیین شده در سازند سروک در چاه مورد مطالعه مطابقت دارد. ضخامت این بایوزون ۷۱ متر از عمق ۲۸۹۱-۲۸۲۰ متری را شامل می شود و از نظر سنگ شناسی شامل دولومیت، شیل و سنگ آهک دولومیتی است. از روزنبران همراه شناسایی شده در چاه موردمطالعه، می توان به میکروفسیل های زیر اشاره داشت:

-*Valvulammina* sp., *Dicyclina shlumbergeri* MUNIER-CHALMAS, 1887, *Dicyclina* sp., *Dictyoconus* sp., *Cuneolina* sp., *Cuneolina pavonia* D'ORBIGNY, 1846, *Nummoloculina* sp., *Hedbergella* sp., *Pithonella trejoi* BONET, 1965, *Reticulinella* sp., *Heterohelix moremani* CUSHMAN, 1938, *Heterohelix* sp., Textularids and Miliolids

میکروفسیل های مذکور با جلبک ها همراه می باشند. بر مبنای ارزش چینه شناسی، میکروفسیل های این بایوزون معرف سن سنومانین می باشد (شکل ۲). در سازند مذکور، همانطور که در جدول ۱ آمده است، با بررسی های میکروپالئوتولوژی نهشته های سازند سروک تعداد ۱۱ گونه از ۱۷ جنس فسیلی شناسایی شدند که تعداد تمامی گونه ها در پلاک ها تعیین و نهایتاً در نمودار ۱ مجموع آنها به صورت نمودار فراوانی آورده شده است.

1887, *Cuneolina pavonia* D'ORBIGNY, 1846, *Dicyclina* sp., *Dictyoconus* sp., *Nezzazata conica* SMOOT, 1956, *Cuneolina* sp., Textularids and Miliolids اشاره داشت. این بایوزون معرف سن سنومانین است (شکل ۲).

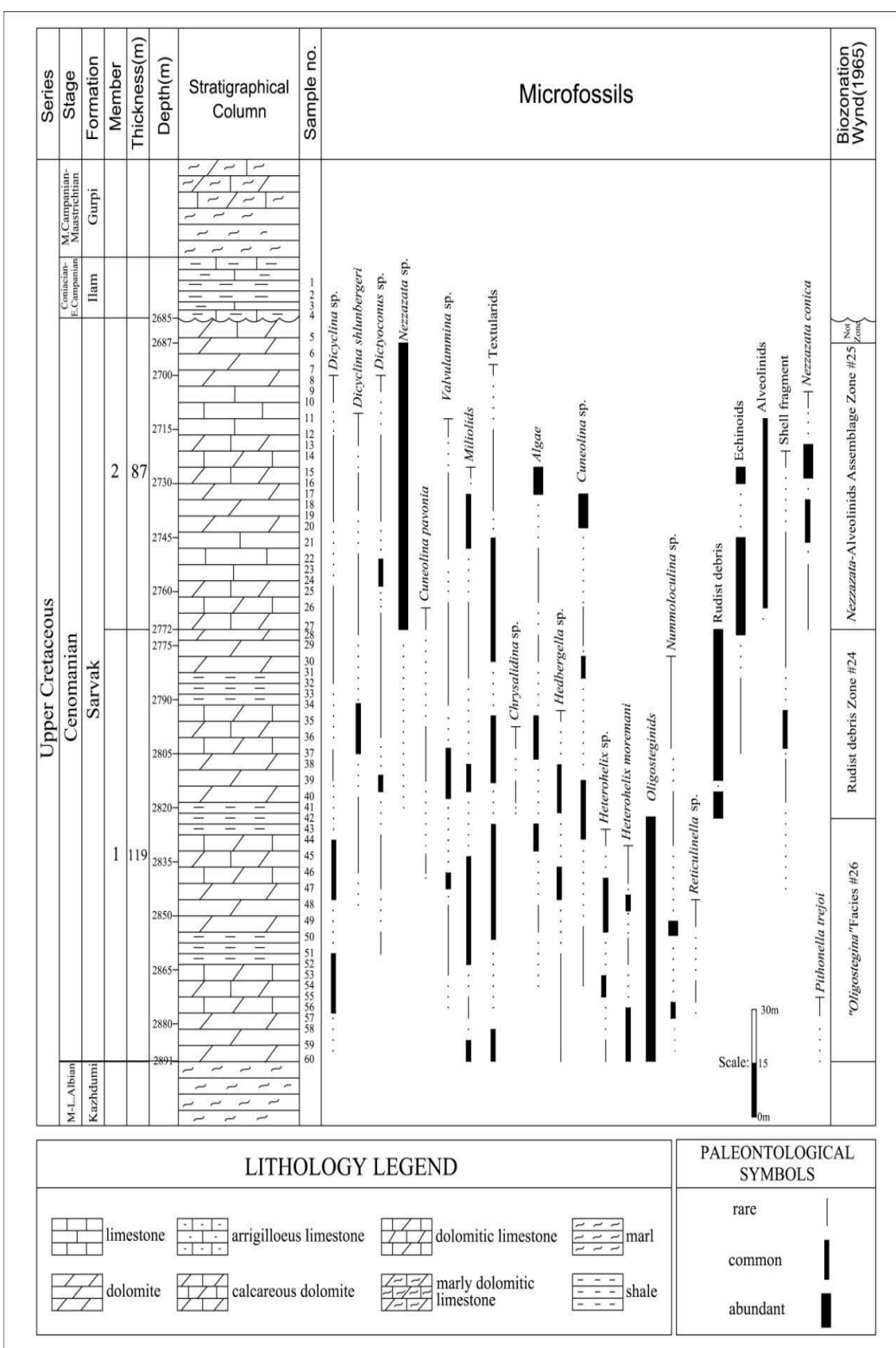
II-Rudist debris Zone # 24

این بایوزون توسط وايند تعریف شده و بولز [۱۰]. بر این باور است که از نظر زمانی این واحد زیست چینه شناسی بسیار ناچیز است، زیرا حضور خرد های رودیستی از زمان آپتین تاماستریشتین و حتی قدیمی تر از آپتین نیز گزارش شده است. بایوزون تعیین شده در سازند سروک در چاه X-01 با ضخامت ۴۸ متر در اعماق ۲۷۷۲-۲۸۲۰ متری قرار دارد و از نظر سنگ شناسی شامل دولومیت، شیل و سنگ آهک دولومیتی است. از روزنبران همراه شناسایی شده در چاه موردمطالعه، می توان به میکروفسیل های زیر اشاره داشت:

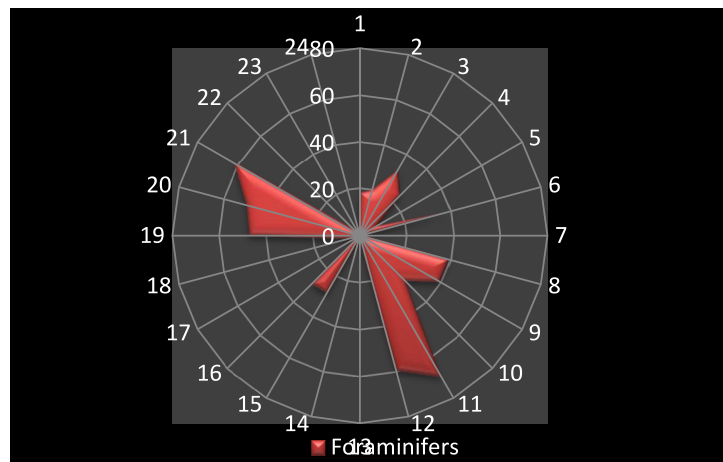
-*Valvulammina* sp., *Dicyclina shlumbergeri* MUNIER- CHALMAS, 1887, *Dicyclina* sp., *Dictyoconus* sp., *Cuneolina pavonia* D'ORBIGNY, 1846, *Cuneolina* sp., *Nezzazata* sp., *Nummoloculina* sp., *Hedbergella* sp., *Chrysalidina* sp., Textularids and Miliolids

III -"Oligostegina" facies # 26

این بایوزون معرفی شده توسط وايند [۲۲]. در حوضه زاگرس به تمامی رخساره های



شکل ۲ - پراکندگی میکروفسیل های شناسایی شده سازند سروک، چاه X-01



نمودار ۱ - فراوانی میکروفسیل های شناسایی شده سازند سروک، چاه X-01

| | |
|---|---|
| 1) <i>Heterohelix</i> sp. | 13) <i>Pseudolitunella reicheli</i> MARIE, 1955 |
| 2) <i>Heterohelix moremani</i> CUSHMAN, 1938 | 14) <i>Pseudorhaphydionina dubia</i> DECASTRO, 1965 |
| 3) Alveolinids | 15) , <i>Hedbergella</i> sp. |
| 4) <i>Nummoloculina</i> sp. | 16) <i>Dicyclina schlumbergeri</i> MUNIER-CHALMAS, 1887 |
| 5) <i>Cuneolina pavonia</i> D'ORBIGNY, 1846 | 17) <i>Lenticulina</i> sp. |
| 6) <i>Valvulammina</i> sp. | 18) <i>Reticulinella</i> sp. |
| 7) <i>Chrysalidina gradate</i> D'ORBIGNY,1839 | 19) <i>Dicyclina</i> sp. |
| 8) <i>Cuneolina</i> sp. | 20) Miliolids |
| 9) <i>Dictyoconus</i> sp. | 21) Textularids |
| 10) <i>Nezzazata conica</i> SMOUT, 1956 | 22) <i>Pithonella trejoi</i> BONET, 1965 |
| 11) <i>Nezzazata</i> sp. | 23) <i>Chrysalidina</i> sp. |
| 12) Oligosteginids | 24) <i>Pseudolituonella</i> sp. |

جدول ۱- پراکندگی میکروفسیل های شناسایی شده در پلاک های سازند سروک، چاه x-01

| Cenomanian | | Coniocian- E.Campanian | Stage | |
|---|--------------------|------------------------|-------------|---------------------------------|
| Sarvak | Ilam | Formation | Biozonation | |
| Nezzazata – Alveolinids Assemblage Zone | Rudist debris Zone | Not Zone | 1 | Sample no. |
| | | | 2 | <i>Dicyclina</i> sp. |
| | | | 3 | <i>Dicyclina shlumbergeri</i> |
| | | | 4 | <i>Hedbergella</i> sp. |
| | | | 5 | Miliolids |
| | | | 6 | <i>Nannoalculina</i> sp. |
| | | | 7 | <i>Pseudolitanella reicheli</i> |
| | | | 8 | <i>Cuneolina</i> sp. |
| | | | 9 | <i>Lenticulina</i> sp. |
| | | | 10 | Textulariids |
| | | | 11 | <i>Heterohelix</i> sp. |
| | | | 12 | <i>Chrysalidina</i> sp. |
| | | | 13 | <i>Nezzazata conica</i> |
| | | | 14 | <i>Pithomella tricarinata</i> |
| | | | 15 | Oligosteginids |
| | | | 16 | <i>Vagabundina</i> sp. |
| | | | 17 | <i>Heterohelix moremani</i> |
| | | | 18 | <i>Reticulinella</i> sp. |
| | | | 19 | <i>Chrysalidina gradata</i> |
| | | | 20 | <i>Nezzazata</i> sp. |
| | | | 21 | <i>Pseudolitanella</i> sp. |
| | | | 22 | <i>Cuneolina pavonia</i> |
| | | | 23 | Alveolinids |
| | | | 24 | <i>Pseudorhapdonina dubia</i> |
| | | | 25 | <i>Dicyrtoceras</i> sp. |
| | | | 26 | Rudist |
| | | | 27 | |
| | | | 28 | |
| | | | 29 | |
| | | | 30 | |
| | | | 31 | |
| | | | 32 | |
| | | | 33 | |
| | | | 34 | |
| | | | 35 | |
| | | | 36 | |
| | | | 37 | |
| | | | 38 | |
| | | | 39 | |
| | | | 40 | |

(۱) جدول ادامه

میکروفاسیس سازند سروک

می باشند [۲۴]. لازم به ذکر است که رخساره مذکور توسط تیموریان (۱۳۸۳) از محیط دریایی بازسازاندسر و ک در ناحیه خوزستان گزارش شده است (پلیت ۲، شکل ۱ و ۲).

2-Bioclastic- Rudist Grainstone:

آلکوم های تشکیل دهنده این میکروfasیس بیشتر شامل خرده های رودیست با قطعات نرمتنان و خارپوستان، در زمینه اسپارایت می باشد. این رخساره مربوط به محیط سدی و کمربند ۶ ویلسون در مقطع مورد مطالعه است که به دلیل نداشتن گل آهکی در محیطی پر انرژی وبالاتر از خط اثرامواج تشکیل شده است [۱۱]. که باعث شسته شدن گل و جانشین شدن سیمان اسپارایتی می شود. این زیر رخساره در شرایط پر انرژی تری تشکیل شده است واز پدیده های دیاژنتیکی موجود را این میکروfasیس می توان به رگه های

شنبه شاند که در سه زمینه محيط دستور

- دریای باز (Openmarine)
 - سد (Barrier)

-۳- مرداب (Lagoon) جای گرفتند. توصیف مسک و فاسس، ها به شرح زیر می باشند:

Wackstone Packstone:

آلوکم های اصلی تشکیل دهنده این میکروfasیس فرامینیفر های موجود معرفی شده در زیست زون شماره ۳ به همراه Oligosteginids می باشد. در این زیر رخساره، میکروفسیل های موجود در زمینه ای از میکریت قرار گرفته اند و مبین شکل گیری ریز رخساره در مناطق کم انژری تر و عمیق تر دریایی باز ودر کمریندهای او ۲ ویلسون

نسبتا بالا می باشد [۲۴]. از پدیده های دیاژنتیکی موجود در این میکروفاسیس می توان به رگه های کلسیتی، دولومیتی شدن ثانویه و بعض ائمورفیسم اشاره نمود(پلیت ۲، شکل ۵).

5- Nezzazata- Alveolinidae Wackstone

Packstone:

از عناصر واجزای اصلی تشکیل دهنده این میکروفاسیس نرازاتا، آلوئولینیده و گاهآ خرد های نرمتنان درزمینه ای از میکریت می باشند. فراوانی میلیولیده ها دررخساره مذکور یک مرداب محدود شده، شوروکم انژی و یامحیطی پشت ریف که موادمغذی زیادی دارد رامشخص می کند. بر این اساس می توان بر این باور بود که این میکروفاسیس نسبت به میکروفاسیس قبلی در بخش های نزدیک تر به محیط جذر و مدى تشکیل شده است. لازم به ذکر است که از پدیده های دیاژنتیکی موجود می توان به ائمورفیسم و دولومیتی شدن ثانویه اشاره داشت (پلیت ۲، شکل ۶).

تفسیر رخساره هادرکمربندهای رخساره ای:

پس از مطالعه دقیق مقاطع نازک میکروسکوپی، تشخیص و رده بندی میکروفاسیس ها و شناسایی کمربندهای رخساره ای به تفسیر آنها می پردازیم.

I- تفسیر رخساره های محیط دریایی باز:

۱) میزان فراوانی بالای آلوکم ها در رخساره با بافت پکستونی میبن تشکیل این رخساره در محیط های پر انژی تر نسبت به رخساره هایی با بافت وکستونی است.

کلسیتی، دولومیتی شدن ثانویه و ائمورفیسم اشاره داشت(پلیت ۲، شکل ۳).

3- Rudist- Alveolinidae- Miliolidae

Packstone :

آلوكم و عناصر اصلی وعمده این میکروفاسیس شامل خانواده آلوئولینیده، میلیولیده، قطعات رودیست، خارپستان و نرمتنان است که به صورت متراکم در زمینه هایی از میکریت می باشند. نام فرامینیفرهای بتیک موجود در این میکروفاسیس در زیست زون شماره ۲ آورده شده است. لازم به ذکر است که قطعات رودیست از محیط سد وارد این رخساره شده اند، لذا این میکروفاسیس در قسمت های پرانژی و کم عمق مرداب که درمجاورت سد می باشد، تشکیل شده است [۱۵ و ۱۶].

حضور فرامینیفرهایی بیشتر با دیواره پرسلانوز در میکروفاسیس مذکور، میبن محیطی با شوری نسبتا بالا می باشد. از پدیده های دیاژنتیکی و ثانویه موجود در این رخساره می توان به رگه های کلسیتی، ائمورفیسم و دولومیتی شدن ثانویه اشاره داشت(پلیت ۲، شکل ۴).

4- Nezzazata- Alveolinidae- Miliolidae

Wackstone Packstone:

عناصر اصلی وسازنده این میکروفاسیس شامل نرازاتا، آلوئولینیده، به همراه خرد های نرمتنان و خارپستان، در زمینه میکریتی می باشد. این میکروفاسیس نسبت به رخساره قبلی در بخش های میانی و کم انژی تر مرداب قرار دارد. حضور فرامینیفرهایی بیشتر با دیواره پرسلانوز درمیکروفاسیس مذکور، میبن محیطی با شوری

باتوجه به میکروفاسیس ها وزیر محیط های رسوی تشخیص داده شده در چاه مورد مطالعه، می توان مدل رسوی برای آن ارائه نمود. برای انجام این امر از مدل های رسوی که توسط (Geel, 2000) و (Wilson, 1975) ارائه شده است نیز استفاده گردید. براساس موارد فوق وبا توجه به تعاریفی که برای انواع سکوهای آهکی ارائه شده است و همچنین به دلیل عدم وجود ساخت ریزشی، تغییرات تدریجی میکروفاسیس ها ، مشاهده نشدن ساختارهای ریفی بزرگ و مخلوط شدن با یوکلست های فرامینیفرهای بتونیک و پلانکتونیک در سازند سروک در چاه مورد مطالعه، می توان بر این باور بود که سازند مذکور در یک پلت فرم کربناته از نوع رمپ نهشته شده است. ناقص بودن سیکل رسوی پیشرونده ناشی از وجود ناپیوستگی فرسایشی در مرز بین دو سازند سروک وايلام در چاه مورد مطالعه است (شکل ۴).

۲) از عمل حاکم بودن محیط احیایی در زمان تشکیل رخساره ها، مشاهده شدن رنگ خاکستری تا سیاه در رخساره ها می باشد.

II- تفسیر رخساره های محیط سد:

(۱) مشاهده میزان بالای دانه های پلوئید و همچنین وجود فرامینیفرهای بتیک و جلبک مبین زیر محیط پشت سد می باشد [14].

(۲) عدم وجود میکریت و میزان بالای سیمان کلسیت اسپارایتی نشان دهنده انرژی بالای محیط سد می باشد.

(۳) وجود دانه های آهکی در اندازه ماسه مبین محیط سدی است.

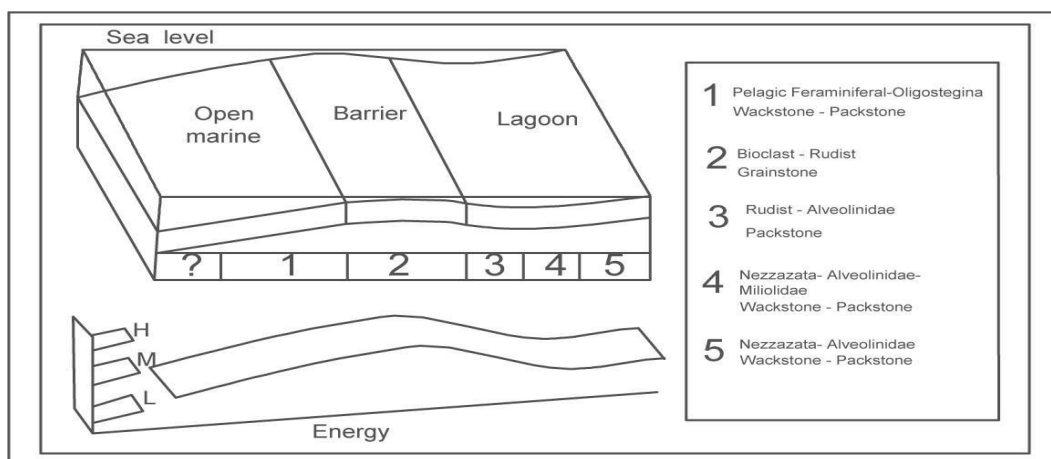
III- تفسیر رخساره های محیط مرداب:

(۱) میزان بالای دانه های پلوئید ، جلبک سیز، فرامینیفرهای بتیک در این رخساره نشانگر رسوبگذاری در محیط لاغون می باشد [14].

(۲) در رخساره مذکور وجود زمینه میکریتی مبین انرژی پائین در محیط رسوبگذاری است.

معرفی مدل رسوی سازند سروک در چاه

X-01



شکل ۴ - معرفی مدل رسوی سازند سروک در چاه مورد مطالعه

نتیجه گیری

ناقص بودن سیکل رسوبی پیشرونده ناشی از وجود ناپیوستگی فرسایشی در مرز بین دو سازند سروک وايلام در چاه مورد مطالعه است.

۶- با توجه به فراوانی خرده های رودیست و میکروفسیل های موجود در چاه X-01، می توان نتيجه گرفت که سازند سروک در محیطی حاره ای و غنی از اکسیژن نهشته شده است.

۱- در سازند سروک در چاه مورد مطالعه، ۱۱ گونه از ۱۷ جنس فسیلی شناسایی شدند که بر اساس آنها، سه زیست زون که با زیست زونهای معرفی شده توسط وايند مطابقت دارد، شناسایی شدند و بر این اساس سن سازند سروک در میدان نفتی مورد مطالعه سنجانی تعیین شد.

۲- بر اساس مطالعات انجام شده در چاه مورد مطالعه مرز بین سازند سروک با سازند کزدمی از نوع پیوسته و مرز فوقانی با سازند ایلام به دلیل تغییر ناگهانی زمان در محل ناپیوستگی، یا به عبارت دیگر مشاهده نشدن فسیلهای تورونین در توالي مورد مطالعه از نوع ناپیوستگی فرسایشی می باشد.

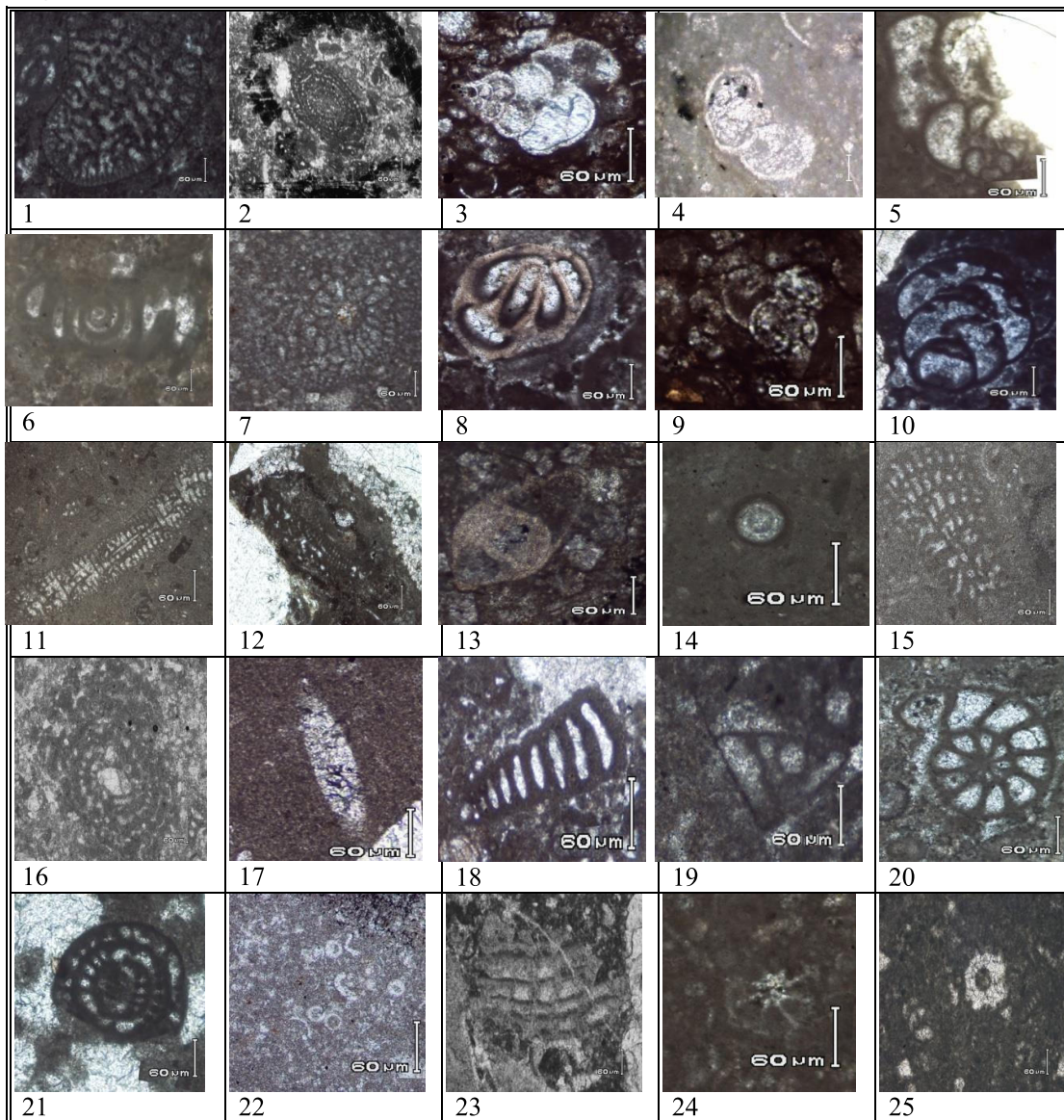
لازم به ذکر است که در تمامی مطالعات سطح الارضی انجام شده در این ناحیه، این مرز را اساسا ناپیوستگی فرسایشی دانستند.

۳- با بررسی مقاطع نازک میکروسکوپی در چاه X-01، تعداد ۵ میکروفاسیس شناسایی شد که بر اساس آن سازند سروک در چاه مورد نظر در سه زیر محیط دریایی باز، سد و مرداب نهشته شده است.

۴- سازند سروک در چاه X-01، در یک پلت فرم کربناته از نوع رمپ نهشته شده است.

۵- با توجه به میکروفاسیس تعیین شده در چاه مورد مطالعه، از قاعده سازند تا بخش میانی آن یک سیکل رسوبی پیشرونده و به سمت بالا یک سیکل رسوبی پیشرونده ولی ناقص شناسایی شده است.

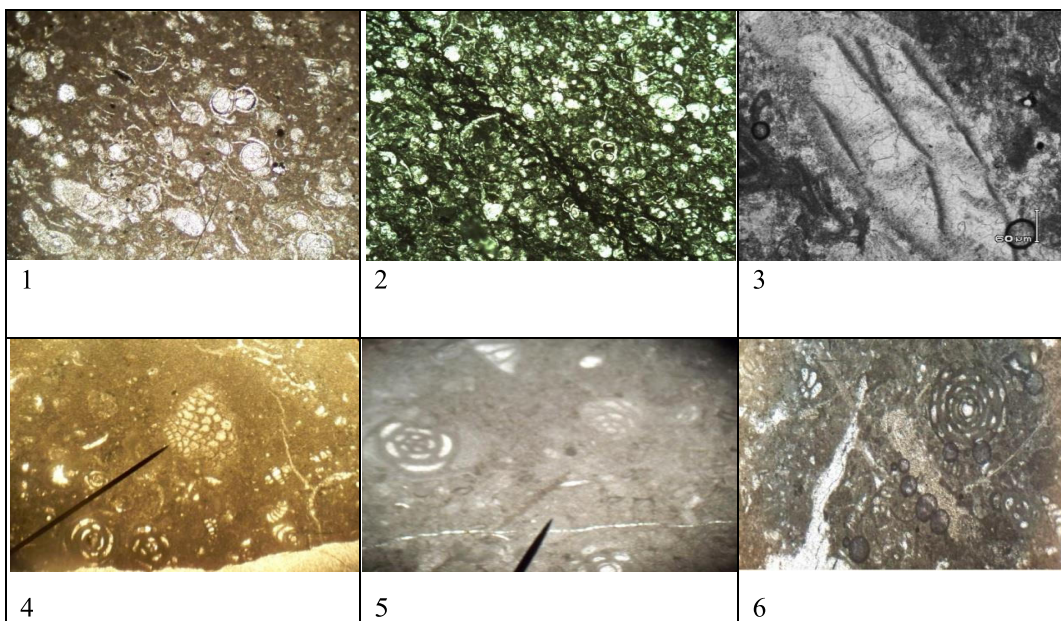
Plate 1



All figures x60

| | |
|--|--|
| 1) <i>Dictyoconus</i> sp. | 13) <i>Lenticulina</i> sp. |
| 2) <i>Prealveolina cretacea</i> D'ARCHIAC, 1837 | 14) <i>Pseudorhapydionina dubia</i> DECASTRO, 1965 |
| 3) <i>Heterohelix moremani</i> CUSHMAN, 1938 | 15) <i>Cuneolina pavonia</i> D'ORBIGNY, 1846 |
| 4) <i>Hedbergella</i> sp. | 16) <i>Praealveolina tenuis</i> REICHEL, 1933 |
| 5) <i>Valvulammina</i> sp. | 17) <i>Pithonella trejoi</i> BONET, 1965 |
| 6) <i>Nummoloculina</i> sp. | 18) <i>Pseudolitunella reicheli</i> MARIE, 1955 |
| 7) <i>Reticulinella</i> sp. | 19) <i>Nezzazata conica</i> SMOOT, 1956 |
| 8) <i>Chrysalidina</i> sp. | 20) <i>Nezzazata</i> sp. |
| 9) <i>Heterohelix</i> sp. | 21) <i>Ovalveolina ovum</i> D'ORBIGNY, 1850 |
| 10) <i>Chrysalidina gradata</i> D'ORBIGNY, 1839 | 22) Oligosteginids |
| 11) <i>Dicyclina</i> sp. | 23) Rudist frogment |
| 12) <i>Dicyclina shlumbergeri</i> MUNIER-CHALMAS, 1887 | 24) <i>Cylindroporella</i> sp. |
| | 25) <i>Salpingoporella</i> sp. |

Plate2 All figures x60



منابع

خوزستان و لرستان. فصلنامه علوم زمین، شماره ۲۵-۲۶، ۵۹-۴۸ص.

۶- مطیعی، م.، ۱۳۷۴- زمین شناسی نفت زاگرس، سازمان زمین شناسی کشور، ۱۰۹ ص.

۷- وزیری مقدم، ح.، صفری، ا.، ۱۳۸۲- بررسی رخساره های آهکی و تفسیر محیط رسوب گذاری سازند سروک در ناحیه سمیرم، مجله پژوهشی دانشگاه اصفهان، شماره ۲، ۵۹-۷۴ ص.

8-Boli, H.M., 1959- Planktonic Foraminifera from the Cretaceous of Trinidad, W.IBull. Amer.paleonto.Vol.39, 277p.

9-Boli, H.M., 1966- Zonation of Cretaceous to Pliocene marine Sediments based on Planktonic Foraminifera Bole thin Informative Association Venezuelan De Geologia.Mineriay petroleum, No.9, 3-32 pp.

۱- تیموریان، ا.، ۱۳۸۳- چینه نگاری زیر زمینی سازند های سروک واپلام (گروه بنگستان) در جنوب شرق اهواز، پایان نامه کارشناسی ارشد، دانشگاه اصفهان، ۱۷۷ ص.

۲- خسروتهرانی، خ.، ۱۳۸۳- میکروپالئونتولوژی کاربردی، جلد یک، دانشگاه تهران، ۱۸۰ ص.

۳- کلانتری، ا.، ۱۳۷۱- سنگ چینه‌ای و رخساره‌های میکروسکوپی زاگرس، انتشارات شرکت ملی نفت ایران، ۳۰۶ ص.

۴- کلانتری، ا.، ۱۳۷۵- رخساره‌های میکروسکوپی سنگ های کربناته ایران، نشریه شماره ۱۱، شرکت ملی نفت ایران، ۴۴۰ ص.

۵- لاسمی، ی..، وجیلیان، ع. ح.، ۱۳۷۶- بررسی میکروفاسیس ها و محیط رسوبی سازند سروک در

- 17-I.O.O.C (Iranian off Shore Oil Co.), 2006- Bahregansar Geosience Study. 170p.
- 18-Loeblich, A.R., and Tappan,H., J.R. 1988- Foraminiferal Genera and their classification Van Nostrand Reinhold Campany, Newyork, No.2 Volumes. 970p, Plus 212, 847 pp.
- 19-Mehrush, M., and Partoazar, H., 1977- Ministry of Industry and Mines Geological Survey of IRAN selected Microfauna of IRAN, No. 33, 396p.
- 20-Postuma, J., 1971- Manual of Planktonic Foraminifera, Elsevier publishing Company Amesterdom, 420 p.
- 21-Reiss, Z., and Hottinger. L., 1984- the Gulf of Aqaba, Ecological Micropaleontology, Ecol. Stud. 5, Springer, Berlin, 354p.
- 22-Tehran Energy Co., 2000- Bahregansar field Study, 60 p.
- 23-Wilson, J.L., 1975- Carbonate Facies in Geological history, Springer, New York, 471p.
- 24-Wynd, J.G., 1965- Biofacies of Iranian Oil Consorticsm agreement area, I.O.O.C. rep., No. 1082, 120 p.
- 10-Bolz, H., 1978- The paleogeographical evolution, during The Cretaceous in the operating area, O.S.C.O. (Oil Services Company of Iran), 320p.
- 11-Burchette, T.P., 1993- Mishrif Formation (Cenomanian- Turonian), Southern Arabian Gulf, Carbonate platform growth along a catonic basin margin in: Simo,J. a. T., Scott,R. W., Masse,J. P., Petro. Geol.Mem, V.56, Chapter16, 185-200 pp.
- 12-Caron, M., 1983- Taxonomic et.phylogenetic dela famille des Globotruncanidae. 2nd kreide symposium, Munchen , 1982- Zitteliana Munchen, No.10, 67-81 pp.
- 13-Caron, m., 1989- Cretaceous Plankton Foraminifera, and Boli, H.M., et at. (editors). Planktonic Stratigraphy, Vol.1, Cambridge University press, 573p.
- 14-Flugel, E., 1982- Microfacies Analysis of Limestone: Berlin, Springer, V., 633P.
- 15-Geel, T., 2000- Recorgnition of stratigraphic sequence in carbonate platform avd slop deposits: Empirical models based on Microfacies analysis of Paleogene deposits, in South estern Spain, Paleo. V.155.211-238 pp.
- 16-Hottinger, L., 1997- Shallow Bentic Foraminiferal Assemblages as singnal for depth of their deposition and their Limitations,Soc. Geol. Fr. BULL.168, PP. 491-505 pp.

